

# QUELQUES ÉLÉMENTS DE COMBINATOIRE DES MATRICES DE $SL_2(\mathbb{Z})$

FLAVIEN MABILAT

ABSTRACT. A Theorem of V.Ovsienko characterizes sequences of positive integers  $(a_1, a_2, \dots, a_n)$  such that the  $(2 \times 2)$ -matrix  $\begin{pmatrix} a_n & -1 \\ 1 & 0 \end{pmatrix} \cdots \begin{pmatrix} a_1 & -1 \\ 1 & 0 \end{pmatrix}$  is equal to  $\pm Id$ . In this paper, we study matrices  $M$  such that some properties verified by the previous equation are still true when we replace  $\pm Id$  by  $\pm M$ . We also give a combinatorial description of the solutions of this equation when  $M = \begin{pmatrix} 0 & -1 \\ 1 & 0 \end{pmatrix}$  in terms of dissections of convex polygons.

RÉSUMÉ. Un théorème de V.Ovsienko caractérise les séquences d'entiers strictement positifs  $(a_1, \dots, a_n)$  vérifiant  $\begin{pmatrix} a_n & -1 \\ 1 & 0 \end{pmatrix} \cdots \begin{pmatrix} a_1 & -1 \\ 1 & 0 \end{pmatrix} = \pm Id$ . Dans cette note, on étudie les matrices  $M$  pour lesquelles certaines propriétés vérifiées par les solutions de l'équation précédente restent vraies lorsque l'on remplace  $\pm Id$  par  $\pm M$ . On étudie également en détail les solutions de l'équation pour  $M = \begin{pmatrix} 0 & -1 \\ 1 & 0 \end{pmatrix}$  et on donne une description combinatoire des solutions en terme de découpages de polygones convexes.

**Mots clés :** groupe modulaire, polygone, quiddité

« *Quand les mystères sont très malins, ils se cachent dans la lumière.* »

Jean Giono

## 1. INTRODUCTION

Le groupe modulaire

$$SL_2(\mathbb{Z}) = \left\{ \begin{pmatrix} a & b \\ c & d \end{pmatrix} \mid a, b, c, d \in \mathbb{Z}, ad - bc = 1 \right\}$$

et son quotient par le centre,  $PSL_2(\mathbb{Z}) = SL_2(\mathbb{Z})/\{\pm Id\}$ , interviennent dans de nombreux domaines mathématiques tels que la théorie des fractions continues ou la géométrie hyperbolique. Ceci explique que ce groupe ait fait l'objet de nombreux travaux et que sa structure soit maintenant bien connue. L'un des éléments les plus remarquables de cette structure est la connaissance de parties génératrices à seulement deux éléments. Il existe plusieurs façons de choisir de tels éléments et on considérera ici les deux générateurs suivants (pour une preuve de ce résultat classique on pourra consulter par exemple [1]) :

$$T = \begin{pmatrix} 1 & 1 \\ 0 & 1 \end{pmatrix}, S = \begin{pmatrix} 0 & -1 \\ 1 & 0 \end{pmatrix}.$$

Ce choix implique que pour tout élément  $A$  de  $SL_2(\mathbb{Z})$  il existe un entier strictement positif  $m$  et des entiers relatifs  $b_1, \dots, b_m, d_1, \dots, d_m$  tels que

$$A = T^{b_m} S^{d_m} T^{b_{m-1}} S^{d_{m-1}} \dots T^{b_1} S^{d_1}.$$

---

*Key words and phrases.* modular group, polygon, quiddity.

Comme  $S^2 = -Id$ ,  $\exists \epsilon \in \{-1, 1\}$  et il existe un entier strictement positif  $l$  et des entiers relatifs  $c_1, \dots, c_l$  tels que

$$A = (\epsilon Id) T^{c_l} S T^{c_{l-1}} S \dots T^{c_1} S = (\epsilon Id) \begin{pmatrix} c_l & -1 \\ 1 & 0 \end{pmatrix} \begin{pmatrix} c_{l-1} & -1 \\ 1 & 0 \end{pmatrix} \dots \begin{pmatrix} c_1 & -1 \\ 1 & 0 \end{pmatrix}.$$

On utilisera la notation  $M_n(a_1, \dots, a_n)$  pour désigner la matrice  $\begin{pmatrix} a_n & -1 \\ 1 & 0 \end{pmatrix} \begin{pmatrix} a_{n-1} & -1 \\ 1 & 0 \end{pmatrix} \dots \begin{pmatrix} a_1 & -1 \\ 1 & 0 \end{pmatrix}$ .

De plus, on a

$$S = -M_5(1, 1, 2, 1, 1), \quad T^{-1} = -M_4(1, 2, 1, 1), \quad T = -M_3(1, 1, 2) \quad \text{et} \quad -Id = M_3(1, 1, 1).$$

Donc, toute matrice de  $SL_2(\mathbb{Z})$  peut s'écrire sous la forme

$$A = \begin{pmatrix} a_n & -1 \\ 1 & 0 \end{pmatrix} \begin{pmatrix} a_{n-1} & -1 \\ 1 & 0 \end{pmatrix} \dots \begin{pmatrix} a_1 & -1 \\ 1 & 0 \end{pmatrix} = T^{a_n} S T^{a_{n-1}} S \dots T^{a_1} S,$$

avec  $a_1, \dots, a_n$  des entiers strictement positifs. Cette écriture n'est malheureusement pas unique. Par exemple,

$$-Id = M_3(1, 1, 1) = M_4(1, 2, 1, 2).$$

Cependant, on peut essayer de trouver toutes les écritures d'une matrice sous la forme  $M_n(a_1, \dots, a_n)$ . En particulier, V.Ovsienko (voir [9]) a donné une description combinatoire, en terme de découpages de polygones, des  $n$ -uplets d'entiers strictement positifs solutions des deux équations suivantes :

$$(E) \quad M_n(a_1, \dots, a_n) = \pm Id,$$

et

$$(\tilde{E}) \quad M(a_1, \dots, a_n)^2 = -Id.$$

Ces résultats généralisaient déjà eux-mêmes un résultat antérieur dû à Conway et Coxeter (voir [4]) datant de 1973 (voir la section suivante pour plus de détails). Notre objectif ici est d'étudier, pour  $M \in SL_2(\mathbb{Z})$ , la généralisation suivante de l'équation (E) :

$$(E_M) \quad M_n(a_1, \dots, a_n) = \pm M.$$

en caractérisant, si possible, les matrices  $M$  pour lesquelles certaines propriétés de l'équation (E) (détaillées dans les sections suivantes) sont encore vraies. On étudiera également en détail le cas où  $M = S$ , en obtenant notamment une description combinatoire des solutions utilisant des découpages de polygones.

## 2. RÉSULTATS PRINCIPAUX

On s'intéresse ici, pour  $M \in SL_2(\mathbb{Z})$ , à certaines propriétés de l'équation

$$(E_M) \quad M_n(a_1, \dots, a_n) = \pm M.$$

Notons qu'avec cette notation (E) devient  $(E_{Id})$ .

Une des propriétés les plus intéressantes de  $(E_{Id})$  est l'invariance par permutations circulaires des solutions c'est à dire que si  $(a_1, \dots, a_n)$  est solution de  $(E_{Id})$  alors  $(a_2, \dots, a_n, a_1)$  l'est également. En effet, si celle-ci n'est pas vérifiée, il sera plus difficile d'obtenir une description combinatoire "simple" des solutions de  $(E_M)$  en terme de découpages de polygones puisqu'il faudra prévoir une façon d'introduire un point de départ dans la lecture de la séquence associée au découpage. On va donc chercher les matrices  $M$  dont les écritures sous la forme  $M_n(a_1, \dots, a_n)$  sont invariantes par permutations circulaires. Soit  $k \in \mathbb{N}^*$ , on dira que  $M \in SL_2(\mathbb{Z})$  vérifie  $\mathcal{P}(k)$  si les solutions de  $M_k(a_1, \dots, a_k) = M$  sont invariantes par permutations circulaires et on dira que  $M$  vérifie  $\mathcal{P}$  si  $M$  vérifie  $\mathcal{P}(k) \forall k \in \mathbb{N}^*$ . On cherche donc à connaître les matrices vérifiant  $\mathcal{P}$ . On va démontrer, dans la section 4, le résultat suivant :

**Théorème 2.1.** *Id et  $-Id$  sont les seules matrices vérifiant  $\mathcal{P}$ .*

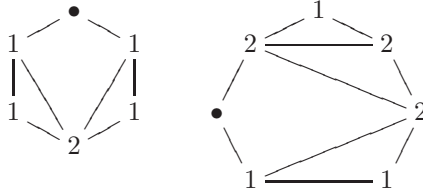
Cependant, ceci n'empêche pas de pouvoir avoir des descriptions combinatoires des  $n$ -uplets d'entiers strictement positifs solutions de  $(E_M)$  pour certaines matrices  $M$ . On se propose ici d'étudier le cas où  $M = S$ . Pour cela, on introduit l'objet combinatoire suivant :

**Définition 2.2.** *Soient  $n \in \mathbb{N}^*$ ,  $n \geq 5$  et  $P$  un polygone convexe à  $n + 1$  sommets. Une 3d-dissection échancrée de  $P$  est une décomposition de  $P$  en sous-polygones par des diagonales ne se croisant qu'aux sommets de  $P$  et vérifiant les conditions suivantes :*

- *un seul des sous-polygones est un quadrilatère ;*
- *tous les autres sous-polygones intervenant dans la décomposition possèdent un nombre de sommets égal à un multiple de 3 ;*
- *le quadrilatère a exactement deux de ses cotés qui sont des cotés de  $P$  et ces deux cotés possèdent un sommet en commun.*

On numérote ce sommet 0 puis on numérote les autres sommets dans le sens trigonométrique. Pour chaque  $i \in \llbracket 1 ; n \rrbracket$ , on note  $a_i$  le nombre de sous-polygones possédant un nombre de sommets égal à un multiple de 3 utilisant le sommet  $i$ .  $(a_1, \dots, a_n)$  est la quiddité de la 3d-dissection échancrée de  $P$ .

Voici deux exemples de 3d-dissection échancrée avec leur quiddité :



On a le résultat suivant :

**Théorème 2.3.** *i) Tout  $n$ -uplet d'entiers strictement positifs solution de  $(E_S)$  est la quiddité d'une 3d-dissection échancrée d'un polygone convexe à  $n + 1$  sommets.*  
*ii) Toute quiddité  $(a_1, \dots, a_n)$  d'une 3d-dissection échancrée d'un polygone convexe à  $n + 1$  sommets est un  $n$ -uplet d'entiers strictement positifs solution de  $(E_S)$ .*

La démonstration de ce théorème, effectuée dans la section 5, utilise en particulier le théorème d'Ovsienko rappelé dans la section suivante (voir [9]).

### 3. THÉORÈMES DE CONWAY-COXETER ET OVSIENKO

L'objectif de cette section est de donner un bref aperçu des théorèmes de Conway-Coxeter et Ovsienko. Cela nous permettra de voir les propriétés de l'équation  $(E_{Id})$  et nous fournira des arguments qui seront réutilisés dans les sections à venir. Le théorème de Conway-Coxeter suivant relie certaines solutions de  $(E_{Id})$  aux triangulations de polygones convexes (la formulation originale du résultat traitait des frises de Coxeter, voir [4, 5] et [2] qui relie le résultat d'origine à  $(E_{Id})$ ). On considère une triangulation d'un polygone convexe à  $n$  sommets.

Suivant [4], on appelle quiddité associée à la triangulation la séquence  $(a_1, \dots, a_n)$  où  $a_i$  est égal au nombre de triangles utilisant le sommet  $i$ . On a le résultat suivant :

**Théorème 3.1** (Conway-Coxeter, [8] Théorème 3.3). *(i) La quiddité associée à la triangulation d'un polygone convexe à  $n$  sommets est un  $n$ -uplet d'entiers strictement positifs solution de  $(E_{Id})$ .*

*(ii) Tout  $n$ -uplet d'entiers strictement positifs  $(a_1, \dots, a_n)$  solution de  $(E_{Id})$ , satisfaisant la condition  $a_1 + a_2 + \dots + a_n = 3n - 6$ , est la quiddité associée à la triangulation d'un polygone convexe à  $n$  sommets.*

Pour une preuve de ce théorème on peut également consulter [7].

Pour  $n \geq 6$ , il existe de nombreux  $n$ -uplets d'entiers strictement positifs solutions de  $(E_{Id})$  qui ne peuvent pas être obtenus avec des triangulations de polygones. L'ensemble de ces  $n$ -uplets solutions est donné dans [9]. Pour le décrire, on a besoin des deux opérations suivantes :

- (a)  $(a_1, \dots, a_i, a_{i+1}, \dots, a_n) \mapsto (a_1, \dots, a_i + 1, 1, a_{i+1} + 1, \dots, a_n)$ ,
- (b)  $(a_1, \dots, a_i, \dots, a_n) \mapsto (a_1, \dots, a_{i-1}, a'_i, 1, 1, a''_i, a_{i+1}, \dots, a_n)$ , avec  $a'_i + a''_i = a_i + 1$ .

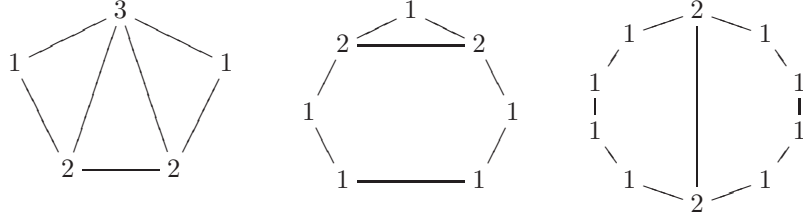
Comme indiqué dans la section précédente, les solutions de  $(E_{Id})$  sont invariantes par permutations circulaires. On considère donc les séquences  $(a_1, \dots, a_n)$  comme des séquences infinies  $n$ -périodiques. Les opérations ci-dessus sont donc possibles pour tout  $i$  compris entre 1 et  $n$  et on montre par un simple calcul que l'opération (a) conserve la matrice  $M_n(a_1, \dots, a_n)$  et que l'opération (b) transforme la matrice  $M_n(a_1, \dots, a_n)$  en son opposée. De plus, on peut "doubler" les solutions de  $(E_{Id})$ , c'est à dire que si le  $n$ -uplet  $(a_1, \dots, a_n)$  est solution de  $(E_{Id})$  alors le  $2n$ -uplet  $(a_1, \dots, a_n, a_1, \dots, a_n)$  est aussi solution. On a également besoin de l'objet combinatoire suivant introduit dans [9] :

**Définition 3.2.** (i) Une 3d-dissection est un découpage d'un polygone convexe  $P$  par des diagonales ne se croisant qu'aux sommets de  $P$  et tel que chaque sous-polygone résultant de ce découpage possède un nombre de sommets égal à un multiple de 3.

(ii) On appelle quiddité associée à la 3d-dissection de  $P$  la séquence  $(a_1, \dots, a_n)$  où  $a_i$  est égal au nombre de sous-polygones utilisant le sommet  $i$ .

(iii) La quiddité d'une 3d-dissection d'un polygone convexe à  $2n$  sommets invariante par la symétrie centrale de centre le centre de  $P$  est un  $2n$ -uplet de la forme  $(a_1, \dots, a_n, a_1, \dots, a_n)$ . On appelle demi-quiddité de la 3d-dissection tout  $n$ -uplet de la forme  $(a_i, \dots, a_{i+n-1})$ .

On donne ci-dessous quelques exemples de 3d-dissection avec leur quiddité :



Les solutions de  $(E_{Id})$  (et de  $\tilde{E}$ ) sont données par les deux théorèmes de V.Ovsienko énoncés ci-dessous :

**Théorème 3.3** ([9], Théorème 2). (i) Tout  $n$ -uplet d'entiers strictement positifs solution de  $(E_{Id})$  peut être obtenu en appliquant les opérations (a) et (b) à  $(1, 1, 1)$ .

(ii) Tout  $n$ -uplet d'entiers strictement positifs solution de  $(\tilde{E})$  peut être obtenu en appliquant les opérations (a) et (b) à  $(1, 2)$  et  $(2, 1)$ .

**Théorème 3.4** ([9], Théorème 1). (i) Un  $n$ -uplet d'entiers strictement positifs solution de  $(E_{Id})$  est une quiddité d'une 3d-dissection d'un polygone convexe à  $n$  sommets et la quiddité d'une 3d-dissection d'un polygone convexe à  $n$  sommets est un  $n$ -uplet d'entiers strictement positifs solution de  $(E_{Id})$ .

(ii) Un  $n$ -uplet d'entiers strictement positifs solution de  $(\tilde{E})$  est la demi-quiddité d'une 3d-dissection

d'un polygone convexe à  $2n$  sommets  $P$  invariante par la symétrie centrale de centre le centre de  $P$  et la demi-quiddité d'une  $3d$ -dissection d'un polygone convexe à  $2n$  sommets  $P$  invariante par la symétrie centrale de centre le centre de  $P$  est un  $n$ -uplet d'entiers strictement positifs solution de  $(\tilde{E})$ .

La démonstration utilise le lemme suivant (pour une preuve complète voir [9]).

**Lemme 3.5** ([9], lemme 2.1). *Si  $(a_1, \dots, a_n)$  est une solution de  $(E_{Id})$  ou de  $(\tilde{E})$  alors  $\exists i \in \llbracket 1 ; n \rrbracket$  tel que  $a_i = 1$ .*

Ce lemme permet de montrer le théorème 3.3 par récurrence. La démonstration du théorème 3.4 repose sur l'interprétation géométrique des opérations (a) et (b). Si on se donne une  $3d$ -dissection d'un polygone convexe à  $n$  sommets, alors l'opération (a) consiste à rajouter un triangle sur l'arrête  $(i, i + 1)$  et l'opération (b) consiste à rajouter deux nouveaux sommets entre deux copies du sommet  $i$  (voir [9]). On en déduit le résultat par récurrence.

**Remarque.** M.Cuntz et T.Holm ont donné une description combinatoire des  $n$ -uplets d'entiers vérifiant l'équation  $M_n(a_1, \dots, a_n) = -Id$  en terme de triangulations pondérées (voir [6] pour plus de détails).

#### 4. L'ÉQUATION $M_n(a_1, \dots, a_n) = \pm M$

Dans cette section, on s'intéresse, pour  $M \in SL_2(\mathbb{Z})$ , aux propriétés de l'équation  $(E_M)$  et, en particulier, à la démonstration du théorème 2.1.

**4.1. Premiers résultats.** On commence par chercher les matrices  $M$  pour lesquelles les solutions de  $(E_M)$  peuvent être doublées.

**Proposition 4.1.** *Soient  $M \in SL_2(\mathbb{Z})$  et  $(a_1, \dots, a_n)$  une solution de  $(E_M)$ .  $(a_1, \dots, a_n, a_1, \dots, a_n)$  est solution de  $(E_M)$  si et seulement si  $M = \pm Id$ .*

*Démonstration.*  $(a_1, \dots, a_n)$  est une solution de  $(E_M)$  donc  $\exists \epsilon \in \{-1, 1\}$  tel que  $M_n(a_1, \dots, a_n) = \epsilon M$ . De plus,  $M_{2n}(a_1, \dots, a_n, a_1, \dots, a_n) = M_n(a_1, \dots, a_n)M_n(a_1, \dots, a_n) = M^2$ .

$$\begin{aligned} (a_1, \dots, a_n, a_1, \dots, a_n) \text{ solution de } (E_M) &\iff \exists \mu \in \{-1, 1\} \text{ tel que } M^2 = \mu M \\ &\iff \exists \mu \in \{-1, 1\} \text{ tel que } M = \mu Id \end{aligned}$$

□

On cherche également une condition suffisante sur  $M$  pour que tous les  $n$ -uplets d'entiers strictement positifs solutions de  $(E_M)$  contiennent un 1.

**Proposition 4.2.** *Soit  $M \in SL_2(\mathbb{Z})$ . Si  $M$  est d'ordre fini alors tous les  $n$ -uplets d'entiers strictement positifs solutions de  $(E_M)$  contiennent un 1.*

*Démonstration.* Soient  $M \in SL_2(\mathbb{Z})$  d'ordre fini égal à  $k$  et  $(a_1, \dots, a_n)$  une solution de  $(E_M)$ .  $\exists \epsilon \in \{\pm 1\}$  tel que  $M_n(a_1, \dots, a_n) = \epsilon M$ . Donc,

$$M_{kn}(a_1, \dots, a_n, \dots, a_1, \dots, a_n) = M_n(a_1, \dots, a_n)^k = \epsilon^k Id.$$

Donc,  $(a_1, \dots, a_n, \dots, a_1, \dots, a_n)$  est solution de  $(E_{Id})$  et donc, par le lemme 3.5, un des  $a_i$  est égal à 1. □

4.2. **Démonstration du théorème 2.1.** On dispose du résultat préliminaire suivant :

**Lemme 4.3.** *Soit  $M \in SL_2(\mathbb{Z})$ , si  $M$  vérifie  $\mathcal{P}$  alors  $-M$  vérifie  $\mathcal{P}$ .*

*Démonstration.* Soit  $k \in \mathbb{N}^*$  tel qu'il existe un  $k$ -uplet d'entiers strictement positifs  $(a_1, \dots, a_k)$  tel que  $M_k(a_1, \dots, a_k) = -M$ . Comme  $M_3(1, 1, 1) = -Id$  on a

$$M_{k+3}(a_1, \dots, a_k, 1, 1, 1) = -Id \times M_k(a_1, \dots, a_k) = M.$$

Comme  $M$  vérifie  $\mathcal{P}$ , on a  $M_{k+3}(a_k, 1, 1, 1, a_1, \dots, a_{k-1}) = M$ . Or,

$$\begin{aligned} M_{k+3}(a_k, 1, 1, 1, a_1, \dots, a_{k-1}) &= \begin{pmatrix} a_{k-1} & -1 \\ 1 & 0 \end{pmatrix} \cdots \begin{pmatrix} a_1 & -1 \\ 1 & 0 \end{pmatrix} \times (-Id) \times \begin{pmatrix} a_k & -1 \\ 1 & 0 \end{pmatrix} \\ &= -Id \times \begin{pmatrix} a_{k-1} & -1 \\ 1 & 0 \end{pmatrix} \cdots \begin{pmatrix} a_1 & -1 \\ 1 & 0 \end{pmatrix} \begin{pmatrix} a_k & -1 \\ 1 & 0 \end{pmatrix} \\ &= -Id \times M_k(a_k, a_1, \dots, a_{k-1}) \end{aligned}$$

Donc,  $-M = -Id \times M = M_k(a_k, a_1, \dots, a_{k-1})$  et donc  $-M$  vérifie  $\mathcal{P}$ . □

Avant de décrire les matrices vérifiant  $\mathcal{P}$  on a besoin de plusieurs résultats. Le premier concerne l'expression de la matrice  $M_n(a_1, \dots, a_n)$  en terme de déterminant. On pose  $K_{-1} = 0$ ,  $K_0 = 1$  et on note pour  $i \geq 1$

$$K_i(a_1, \dots, a_i) = \begin{vmatrix} a_1 & 1 & & & & \\ & 1 & a_2 & 1 & & \\ & & \ddots & \ddots & \ddots & \\ & & & 1 & a_{i-1} & 1 \\ & & & & 1 & a_i \end{vmatrix}.$$

$K_i(a_1, \dots, a_i)$  est le continuant de  $a_1, \dots, a_i$ . On dispose de l'égalité suivante (voir [8, 9])

$$M_n(a_1, \dots, a_n) = \begin{pmatrix} K_n(a_1, \dots, a_n) & -K_{n-1}(a_2, \dots, a_n) \\ K_{n-1}(a_1, \dots, a_{n-1}) & -K_{n-2}(a_2, \dots, a_{n-1}) \end{pmatrix}.$$

De plus, si on note  $U_n$  le  $n^{ieme}$  polynôme de Tchebychev de seconde espèce et  $U_{-1}$  le polynôme nul, on a pour tout  $x$  l'égalité suivante (voir [3])

$$U_n\left(\frac{x}{2}\right) = K_n(x, \dots, x).$$

On aura également besoin de deux résultats dûs à V.Ovsienko et S.Morier-Genoud (voir [8]) concernant les présentations minimales d'éléments de  $PSL_2(\mathbb{Z})$ . Si  $M \in SL_2(\mathbb{Z})$  on note  $\overline{M}$  la classe de  $M$  dans  $PSL_2(\mathbb{Z})$ . On a vu dans l'introduction que l'écriture d'un élément de  $SL_2(\mathbb{Z})$  sous la forme  $M_n(a_1, \dots, a_n)$  n'est pas unique mais on dispose cependant des deux résultats suivants :

**Théorème 4.4** ([8], Théorème 6.3). *L'écriture  $\overline{M} = \overline{M_k(a_1, \dots, a_k)}$  avec des coefficients  $a_i$  strictement positifs est unique si  $k$  est le plus petit possible. Une telle écriture sera appelé la présentation minimale de  $\overline{M}$ .*

**Théorème 4.5** ([8], proposition 6.4). *Si  $\overline{M} \in PSL_2(\mathbb{Z})$  s'écrit sous la forme  $\overline{M} = \overline{M_k(a_1, \dots, a_k)}$ , alors cette écriture est la présentation minimale de  $\overline{M}$ , si et seulement si  $a_i \geq 2$ , sauf peut-être aux extrémités de la séquence, c'est à dire, pour  $a_1$  ou  $a_1$  et  $a_2$  et  $a_k$ , ou  $a_{k-1}$  et  $a_k$ .*

Avec ces résultats on peut maintenant démontrer le théorème.

Démonstration du théorème 2.1. Montrons que  $Id$  et  $-Id$  vérifient  $\mathcal{P}$ .

Soit  $k \in \mathbb{N}^*$  tel qu'il existe un  $k$ -uplet d'entiers strictement positifs  $(a_1, \dots, a_k)$  tel que

$$M_k(a_1, \dots, a_k) = Id.$$

On a  $M_k(a_1, \dots, a_{k-1}) = M_1(a_k)^{-1}$  et donc

$$M_k(a_k, a_1, \dots, a_{k-1}) = M_k(a_1, \dots, a_{k-1})M_1(a_k) = Id.$$

Donc,  $(a_1, \dots, a_k)$  est invariant par permutations circulaires. Donc,  $Id$  vérifie  $\mathcal{P}$  et par le lemme 4.3,  $-Id$  vérifie  $\mathcal{P}$ .

Montrons que si  $M$  vérifie  $\mathcal{P}$  alors  $M \in \{-Id, Id\}$ .

Soit  $M$  vérifiant  $\mathcal{P}$ . Soit  $(a_1, \dots, a_n)$  la présentation minimale de  $\overline{M}$ . On a donc  $M = M_n(a_1, \dots, a_n)$  ou  $-M = M_n(a_1, \dots, a_n)$ .

Supposons que  $M = M_n(a_1, \dots, a_n)$ . Comme  $M$  vérifie  $\mathcal{P}$ , on a

$$M = M_n(a_1, \dots, a_n) = M_n(a_n, a_1, \dots, a_{n-1})$$

et donc

$$\overline{M} = \overline{M_n(a_n, a_1, \dots, a_{n-1})}.$$

Comme la présentation minimale est unique on a que tous les  $a_i$  sont égaux. Notons  $a$  leur valeur commune et montrons que  $a = 1$ . On a

$$M = M_n(a, \dots, a) = \begin{pmatrix} K_n(a, \dots, a) & -K_{n-1}(a, \dots, a) \\ K_{n-1}(a, \dots, a) & -K_{n-2}(a, \dots, a) \end{pmatrix}$$

Notons  $K_j(a) = K_j(a, \dots, a)$ . On a  $-M = M_{n+3}(a, \dots, a, 1, 1, 1)$  et comme  $M$  vérifie  $\mathcal{P}$  on a que  $-M$  vérifie  $\mathcal{P}$ . Donc,  $-M = M_{n+3}(1, 1, a, \dots, a, 1)$ .

$$\begin{aligned} M_{n+3}(1, 1, a, \dots, a, 1) &= \begin{pmatrix} 1 & -1 \\ 1 & 0 \end{pmatrix} M_n(a, \dots, a) \begin{pmatrix} 1 & -1 \\ 1 & 0 \end{pmatrix} \begin{pmatrix} 1 & -1 \\ 1 & 0 \end{pmatrix} \\ &= \begin{pmatrix} 1 & -1 \\ 1 & 0 \end{pmatrix} M \begin{pmatrix} 0 & -1 \\ 1 & -1 \end{pmatrix} \\ &= \begin{pmatrix} 1 & -1 \\ 1 & 0 \end{pmatrix} \begin{pmatrix} K_n(a) & -K_{n-1}(a) \\ K_{n-1}(a) & -K_{n-2}(a) \end{pmatrix} \begin{pmatrix} 0 & -1 \\ 1 & -1 \end{pmatrix} \\ &= \begin{pmatrix} K_n(a) - K_{n-1}(a) & -K_{n-1}(a) + K_{n-2}(a) \\ K_n(a) & -K_{n-1}(a) \end{pmatrix} \begin{pmatrix} 0 & -1 \\ 1 & -1 \end{pmatrix} \\ &= \begin{pmatrix} -K_{n-1}(a) + K_{n-2}(a) & -K_n(a) + 2K_{n-1}(a) - K_{n-2}(a) \\ -K_{n-1}(a) & K_{n-1}(a) - K_n(a) \end{pmatrix} \\ &= -M \\ &= \begin{pmatrix} -K_n(a) & K_{n-1}(a) \\ -K_{n-1}(a) & K_{n-2}(a) \end{pmatrix} \end{aligned}$$

Donc,  $K_{n-2}(a) = K_{n-1}(a) - K_n(a)$ . Donc, comme  $\forall j \in [-1, +\infty[ \cap \mathbb{N} K_j(a) = U_j(\frac{a}{2})$ , on a

$$\begin{aligned} U_{n-2}(\frac{a}{2}) &= U_{n-1}(\frac{a}{2}) - U_n(\frac{a}{2}) \\ &= U_{n-1}(\frac{a}{2}) - (2 \times \frac{a}{2} U_{n-1}(\frac{a}{2}) - U_{n-2}(\frac{a}{2})) \\ &= (1-a)U_{n-1}(\frac{a}{2}) + U_{n-2}(\frac{a}{2}) \end{aligned}$$

Donc,  $(1-a)U_{n-1}(\frac{a}{2}) = 0$ . On a donc soit  $(1-a) = 0$  et dans ce cas  $a = 1$ , soit  $U_{n-1}(\frac{a}{2}) = 0$  et dans ce cas  $\frac{a}{2}$  est une racine de  $U_{n-1}$ . Comme les racines de  $U_{n-1}$  sont dans  $] -1, 1[$  on a dans ce cas  $a \in ] -2, 2[ \cap \mathbb{N}^*$  et donc  $a = 1$ .

On a donc,  $a = 1$  et par le théorème 4.5 on a  $n \in \{1, 2, 3, 4\}$ . Montrons que  $n = 3$ .

Si  $n = 1$ , alors  $M = M_1(1) = \begin{pmatrix} 1 & -1 \\ 1 & 0 \end{pmatrix}$ . On a aussi  $M = M_7(1, 1, 1, 1, 1, 1, 1)$  et en appliquant l'opération (a) on a  $M = M_8(1, 1, 1, 1, 1, 2, 1, 2)$  et comme  $M$  vérifie  $\mathcal{P}$  on a  $M = M_8(2, 1, 1, 1, 1, 1, 2, 1)$ . Or,  $M_8(2, 1, 1, 1, 1, 1, 2, 1) = \begin{pmatrix} 2 & -1 \\ 3 & -1 \end{pmatrix}$  absurde. Donc,  $n \neq 1$ .

Si  $n = 2$  alors  $M = M_2(1, 1) = \begin{pmatrix} 0 & -1 \\ 1 & -1 \end{pmatrix}$ . En appliquant l'opération (a) on a  $M = M_3(2, 1, 2)$  et comme  $M$  vérifie  $\mathcal{P}$  on a  $M = M_3(2, 2, 1)$ . Or,  $M_3(2, 2, 1) = \begin{pmatrix} 1 & -1 \\ 3 & -2 \end{pmatrix}$  absurde. Donc,  $n \neq 2$ .

Si  $n = 4$  alors  $M = M_4(1, 1, 1, 1) = \begin{pmatrix} -1 & 1 \\ -1 & 0 \end{pmatrix}$ . En appliquant l'opération (a) on a  $M = M_5(1, 1, 2, 1, 2)$  et comme  $M$  vérifie  $\mathcal{P}$  on a  $M = M_5(2, 1, 1, 2, 1)$ . Or,  $M_5(2, 1, 1, 2, 1) = \begin{pmatrix} -2 & 1 \\ -3 & 1 \end{pmatrix}$  absurde. Donc,  $n \neq 4$ .

Donc,  $n = 3$  et  $M = M_3(1, 1, 1) = -Id$ .

On procède de façon analogue dans le cas où on a  $-M = M_n(a_1, \dots, a_n)$ . Donc,  $M = \pm Id$ .  $\square$

## 5. RÉOLUTION DE $(E_S)$

Le but de cette section est de rechercher les  $n$ -uplets d'entiers strictement positifs solutions de  $(E_S)$  et de démontrer le théorème 2.3. Par le théorème 2.1, les solutions de cette équation ne sont pas invariantes par permutations circulaires. Notons également que la relation  $S^2 = -Id$  implique, par le théorème 3.4, qu'une solution de  $(E_S)$  est la demi-quiddité d'une  $3d$ -dissection d'un polygone convexe à  $2n$  sommets  $P$  invariante par la symétrie centrale de centre le centre de  $P$ . Cependant, la réciproque est fautive.

**5.1. Construction récursive des solutions.** On considère les deux équations suivantes :

$$(E_S^1) \quad M_n(a_1, \dots, a_n) = S,$$

et

$$(E_S^2) \quad M(a_1, \dots, a_n) = -S.$$

L'opération (a) conserve les solutions des équations  $(E_S^1)$  et  $(E_S^2)$ . L'opération (b) échange les solutions des équations  $(E_S^1)$  et  $(E_S^2)$ .

On commence par l'étude de ces deux équations pour les petites valeurs de  $n$ .

**Lemme 5.1.** *Si  $n \in \{1, 2, 3, 4\}$  les équations  $(E_S^1)$  et  $(E_S^2)$  n'ont pas de solution. Si  $n = 5$ ,  $(E_S^1)$  n'a pas de solution et  $(E_S^2)$  a une unique solution  $(1, 1, 2, 1, 1)$ .*

*Démonstration.* On vérifie facilement que  $M_5(1, 1, 2, 1, 1) = -S$ . Donc, par le théorème 4.5, la présentation minimale de  $S$  vu comme élément de  $PSL_2(\mathbb{Z})$  est  $\overline{S} = \overline{M(1, 1, 2, 1, 1)}$ . Donc, d'après le théorème 4.4,  $(E_S)$  n'a pas de solution si  $n \in \{1, 2, 3, 4\}$  et la seule solution de  $(E_S)$  pour  $n = 5$  est  $(1, 1, 2, 1, 1)$ . Donc,  $(E_S^1)$  et  $(E_S^2)$  n'ont pas de solution si  $n \in \{1, 2, 3, 4\}$ . Si  $n = 5$ ,  $(E_S^1)$  n'a pas de solution et  $(E_S^2)$  a une unique solution  $(1, 1, 2, 1, 1)$ . □

On va maintenant essayer de trouver tout les  $n$ -uplets d'entiers strictement positifs solutions de  $(E_S)$ . Comme  $S$  est d'ordre fini, une solution de  $(E_S)$  contient nécessairement un 1 (proposition 4.2) mais on dispose d'un résultat plus précis :

**Lemme 5.2.** *Si  $(a_1, \dots, a_n)$  est un  $n$ -uplet d'entiers strictement positifs solution de  $(E_S)$  alors il existe  $i \in \llbracket 2 ; n-1 \rrbracket$  tel que  $a_i = 1$ .*

*Démonstration.* Si  $(a_1, \dots, a_n)$  est solution de  $(E_S)$ .  $\exists \epsilon \in \{-1, 1\}$  tel que  $M_n(a_1, \dots, a_n) = \epsilon S$ . On a

$$\begin{aligned} M_n(a_1, \dots, a_n) = \epsilon S &\iff SM_n(a_1, \dots, a_n) = -\epsilon Id \\ &\iff M_{n+1}(a_1, \dots, a_n, 0) = -\epsilon Id \\ &\iff M_{n+1}(a_2, \dots, a_n, 0, a_1) = -\epsilon Id \end{aligned}$$

$$\text{Or, } \begin{pmatrix} a_1 & -1 \\ 1 & 0 \end{pmatrix} \begin{pmatrix} 0 & -1 \\ 1 & 0 \end{pmatrix} \begin{pmatrix} a_n & -1 \\ 1 & 0 \end{pmatrix} = \begin{pmatrix} -a_1 - a_n & 1 \\ -1 & 0 \end{pmatrix} = - \begin{pmatrix} a_1 + a_n & -1 \\ 1 & 0 \end{pmatrix}$$

$$\text{Donc, } M_n(a_1, \dots, a_n) = \epsilon S \iff M_{n-1}(a_2, \dots, a_n + a_1) = \epsilon Id.$$

Donc, la séquence  $(a_2, \dots, a_n + a_1)$  contient un 1 d'après le lemme 3.5. Comme,  $a_n + a_1 \geq 2$ ,  $\exists i \in \llbracket 2 ; n-1 \rrbracket$  tel que  $a_i = 1$ . □

**Proposition 5.3.** *Tout  $n$ -uplet d'entiers strictement positifs solution de  $(E_S^1)$  (resp.  $(E_S^2)$ ) peut être obtenu en appliquant des opérations (a) et un nombre impair d'opérations (b) (resp. pair) à  $(1, 1, 2, 1, 1)$ .*

*Démonstration.* Soit  $(a_1, \dots, a_n)$  un  $n$ -uplet d'entiers strictement positifs solution de  $(E_S)$ . D'après la proposition précédente,  $\exists j \in \llbracket 2 ; n-1 \rrbracket$  tel que  $a_j = 1$ . Montrons que l'on peut toujours voir  $(a_1, \dots, a_n)$  comme l'image par l'opération (a) ou (b) d'un  $k$ -uplet d'entiers strictement positifs solution de  $(E_S)$  sauf si  $(a_1, \dots, a_n) = (1, 1, 2, 1, 1)$ .

A) Si  $j \in \llbracket 3 ; n-2 \rrbracket$  alors  $n \geq 6$ . Si  $a_{j-1} > 1$  et  $a_{j+1} > 1$  alors  $(a_1, \dots, a_n)$  est l'image par l'opération (a) du  $(n-1)$ -uplet  $(a_1, \dots, a_{j-1} - 1, a_{j+1} - 1, \dots, a_n)$  qui est toujours solution de  $(E_S)$ . Si  $a_{j-1} = 1$  alors  $(a_1, \dots, a_n)$  est l'image par l'opération (b) du  $(n-3)$ -uplet  $(a_1, \dots, a_{j-2} + a_{j+1} - 1, \dots, a_n)$  qui est toujours solution de  $(E_S)$ . De même si  $a_{j+1} = 1$ .

B) Si  $\forall i \in \llbracket 3 ; n-2 \rrbracket a_i > 1$ . On a alors  $a_2 = 1$  ou  $a_{n-1} = 1$ . On suppose que  $a_2 = 1$  alors :

Soit  $a_1 > 1$  et dans ce cas  $(a_1, \dots, a_n)$  est l'image par l'opération (a) de  $(a_1 - 1, a_3 - 1, \dots, a_n)$  qui est toujours solution de  $(E_S)$ .

Soit  $a_1 = 1$  et dans ce cas on regarde  $a_{n-1}$ . Si  $a_{n-1} > 1$  alors, d'après le théorème 4.5,  $(a_1, \dots, a_n)$  est la présentation minimale de  $S$  vu comme élément de  $PSL_2(\mathbb{Z})$  c'est à dire  $(a_1, \dots, a_n) = (1, 1, 2, 1, 1)$ .

Si  $a_{n-1} = 1$  alors soit  $a_n > 1$  et dans ce cas  $(a_1, \dots, a_n)$  est l'image par l'opération (a) du  $(n-1)$ -uplet  $(a_1, \dots, a_{n-2} - 1, a_n - 1)$  (qui est toujours solution de  $(E_S)$ ), soit  $a_n = 1$  et donc, d'après le théorème 4.5,  $(a_1, \dots, a_n)$  est la présentation minimale de  $S$  vu comme élément de  $PSL_2(\mathbb{Z})$  c'est à dire  $(a_1, \dots, a_n) = (1, 1, 2, 1, 1)$ .

La démonstration est la même dans le cas  $a_{n-1} = 1$ . □

## 5.2. Démonstration du théorème 2.3.

. On a

$$M_n(a_1, \dots, a_n) = S \text{ (resp. } -S) \iff M_{n-1}(a_1 + a_n, \dots, a_{n-1}) = Id \text{ (resp. } -Id)$$

i) Si  $(a_1, \dots, a_n)$  est solution de  $(E_S)$  alors  $M_{n-1}(a_1 + a_n, \dots, a_{n-1}) = \pm Id$ . Par le théorème 3.4,  $(a_1 + a_n, \dots, a_{n-1})$  est la quiddité associée à une  $3d$ -dissection d'un polygone convexe  $R$  à  $n-1$  sommets.

Il existe un  $j$  tel que le sommet 1 soit relié au sommet  $j$  et tel que le sous-polygone formé par les sommets  $1, \dots, j$  contienne exactement  $a_1$  sous-polygones utilisant le sommet 1. On note  $R_1$  le sous-polygone formé par les sommets  $1, \dots, j$  et  $R_2$  le sous-polygone formé par les sommets  $j, \dots, n-1, 1$  qui contient lui  $a_n$  sous-polygones utilisant le sommet 1.  $R_1$  et  $R_2$  sont eux même potentiellement décomposés en sous-polygones.

Soit  $T$  un polygone convexe à  $n+1$  sommets. On choisit un sommet que l'on numérote 0 et on numérote les autres sommets dans le sens trigonométrique. On relie le sommet  $j$  aux sommets 1 et  $n$  et on décompose le sous-polygone formé par les sommets  $1, \dots, j$  de la même façon que  $R_1$  et le sous-polygone formé par les sommets  $j, \dots, n-1, n$  de la même façon que  $R_2$ .

On obtient une  $3d$ -dissection échançrée de  $T$  dont la quiddité est  $(a_1, \dots, a_n)$ .

ii) Soient  $n \geq 5$  et  $(a_1, \dots, a_n)$  la quiddité d'une  $3d$ -dissection échançrée d'un polygone convexe  $P$  à  $n+1$  sommets.

La décomposition de  $P$  contient un unique quadrilatère dont les sommets sont numérotés 0, 1,  $n$  et un dernier sommet numéroté  $j$  avec  $j \in \llbracket 3 ; n-2 \rrbracket$ . Ce quadrilatère permet de définir deux sous-polygones : le polygone utilisant les sommets  $1, 2, \dots, j$  que l'on notera  $P_1$  et le polygone utilisant les sommets  $j, j+1, \dots, n$  que l'on notera  $P_2$ .  $P_1$  et  $P_2$  peuvent eux-même être décomposés en sous-polygones. Notons que  $P_1$  et  $P_2$  n'ont que le sommet  $j$  en commun.

On considère un polygone convexe à  $n-1$  sommets  $Q$ . On choisit un sommet que l'on numérote 1 puis on numérote les autres sommets dans le sens trigonométrique. On décompose  $Q$  en sous-polygone de la façon suivante : on relie le sommet 1 au sommet  $j$  ce qui décompose  $P$  en deux sous-polygones puis on décompose le sous-polygone utilisant les sommets  $1, 2, \dots, j$  de la même façon que  $P_1$  et on décompose le sous-polygone utilisant les sommets  $j, j+1, \dots, n-1, 1$  de la même façon que  $P_2$ .

La décomposition de  $P$  donne une  $3d$ -dissection de  $Q$  dont la quiddité est  $(a_1 + a_n, a_2, \dots, a_{n-1})$  (car les sous-polygones qui utilisaient le sommet  $n$  dans la décomposition de  $P$  utilisent le sommet 1 dans la décomposition de  $Q$ ). Par le théorème 3.4, on a  $M_{n-1}(a_1 + a_n, \dots, a_{n-1}) = \pm Id$  et donc  $M_n(a_1, \dots, a_n) = \pm S$ .

Donc,  $(a_1, \dots, a_n)$  est solution de  $(E_S)$ . □

## RÉFÉRENCES

- [1] M. Alessandri, *Thèmes de géométrie. Groupes en situation géométrique*, Dunod, 1999.
- [2] F. Bergeron, C. Reutenauer,  *$SL_k$ -tilings of the plane*, Ill. J. Math. 54, 263-300 (2010).
- [3] C. Conley, V. Ovsienko, *Rotundus : triangulations, Chebyshev polynomials, and Pfaffians*, Math. Intelligencer **40** (2018), 45–50.
- [4] J. H. Conway, H. S. M. Coxeter, *Triangulated polygons and frieze patterns*, Math. Gaz. **57** (1973), 87–94 and 175–183.
- [5] H. S. M. Coxeter. *Frieze patterns*, Acta Arith. **18** (1971), 297–310.
- [6] M. Cuntz, T. Holm *Frieze patterns over integers and other subsets of the complex numbers*, J. Comb. Algebra. 3 (2019), 153–188
- [7] C.-S. Henry, *Coxeter friezes and triangulations of polygons*, Amer. Math. Monthly **120** (2013), 553–558.
- [8] S. Morier-Genoud, V. Ovsienko, *Farey boat I. Continued fractions and triangulations, modular group and polygon dissections*, Jahresber. Dtsch. Math. Ver. (2019). <https://doi.org/10.1365/s13291-019-00197-7>
- [9] V. Ovsienko, *Partitions of unity in  $SL(2, \mathbb{Z})$ , negative continued fractions, and dissections of polygons*, Res. Math. Sci. 5 (2018), no. 2, Paper No. 21, 25 pp.

FLAVIEN MABILAT, LABORATOIRE DE MATHÉMATIQUES U.F.R. SCIENCES EXACTES ET NATURELLES MOULIN DE LA  
HOUSSE - BP 1039 51687 REIMS CEDEX 2, FRANCE  
*E-mail address:* flavien.mabilat@univ-reims.fr